

Euklidische Abstandstransformation mit Anti-Aliasing

Georg Jahn
mail@gjahn.com

nach einer Veröffentlichung von
Stefan Gustavson und Robin Strand (2010)

24. Januar 2012
Seminar Computergrafik

Euklidische Abstandstransformation mit Anti-Aliasing

Übersicht

- Abstandstransformationen
 - Motivation
 - Metriken
 - Algorithmen
- Anti-Aliasing in der Abstandstransformation
 - Motivation
 - Algorithmus nach Gustavson und Strand
 - Ergebnisse



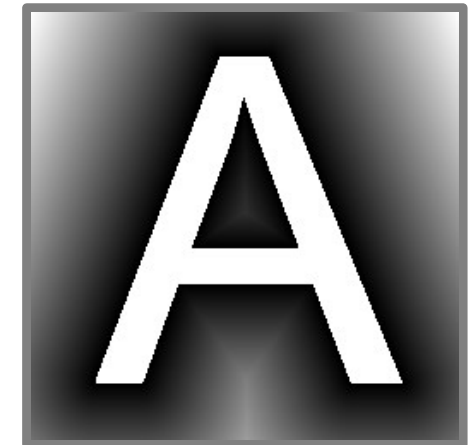
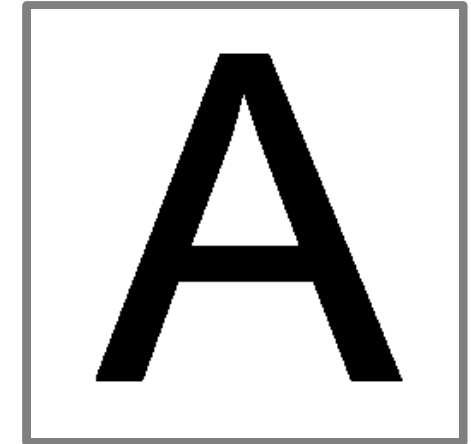
Teil 1

Pfadgenerierte und euklidische
Abstandstransformationen

Abstandstransformationen

Definition

- Eingabe: **Hintergrundmenge**
Teilmenge $A \subset \mathbb{R}^2$
- Ausgabe: **Abstandsfunktion zur Menge**
 $f: \mathbb{R}^2 \setminus A \rightarrow \mathbb{R}$
- Die Abstandstransformation ergibt für jeden Punkt der Vordergrundmenge den Abstand zum nächsten Punkt der Hintergrundmenge.



Abstandstransformationen

Diskrete Definition

- Eingabe: **Binäres Pixelbild**

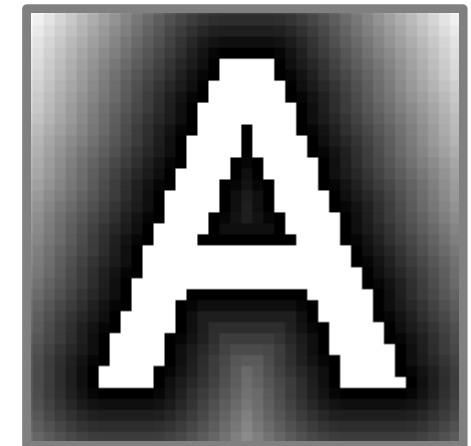
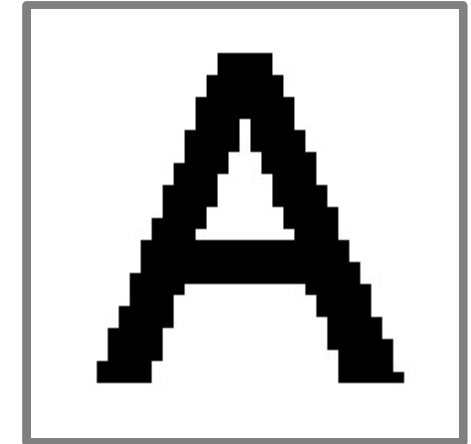
$$A \in \{0,1\}^{n \times m}$$

- Ausgabe: **Abstandsfunktion** zum nächsten gesetzten/ungesetzten Pixel

$$F \in \mathbb{R}^{n \times m}$$

- Dabei ergibt sich der Abstand aus dem vertikalen und horizontalen Abstand entsprechend einer gewählten Metrik:

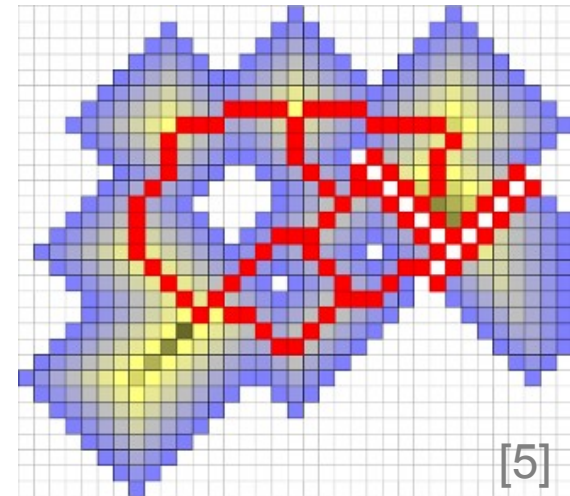
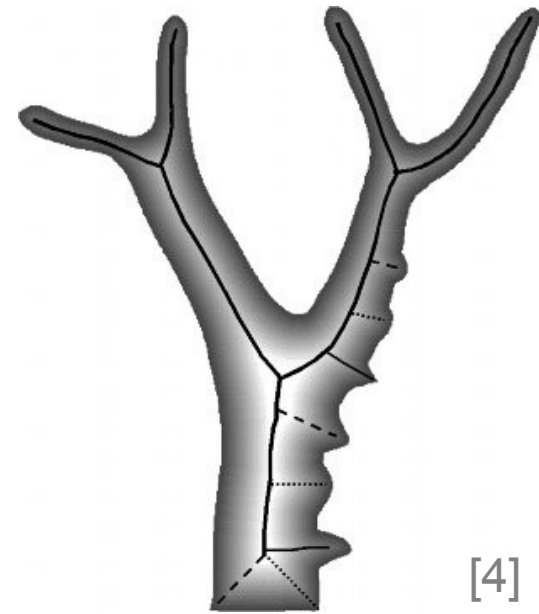
$$d[x, y]: \mathbb{Z}^2 \rightarrow \mathbb{R}$$



Abstandstransformationen

Motivation/Anwendungen

- **Bildbearbeitung**
 - Ausdünnung/Erweiterung von Formen
 - Schatten, Weichzeichnen
- **Algorithmik**
 - Skelettierung
 - Objekterkennung und -analyse
 - Wegfindung



Abstandstransformationen

Metriken

- Manhattan-Metrik

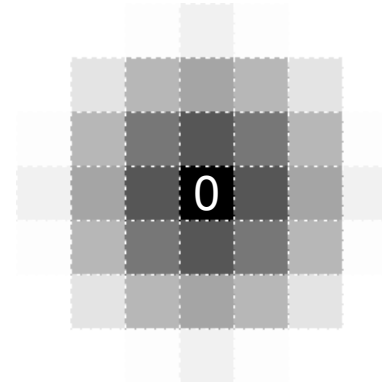
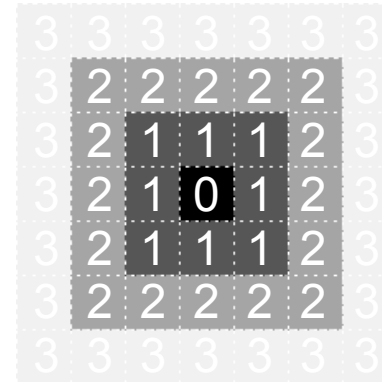
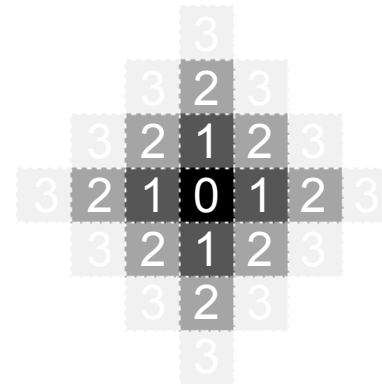
$$d(x, y) = |x| + |y|$$

- Chessboard-Metrik

$$d(x, y) = \max(|x|, |y|)$$

- Euklidische Metrik

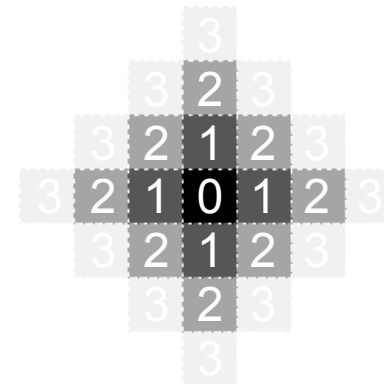
$$d(x, y) = \sqrt{x^2 + y^2}$$



Abstandstransformationen

Algorithmen

- Gesucht: „Schnelle“ Algorithmen mit Laufzeit $O(n)$, n bezeichnet die Pixelzahl.
- Bei „**pfadgenerierten**“ **Metriken**, z.B. Manhattan:
 - Wert kann von umliegenden Werten her propagiert werden.
 - Propagation in maximal zwei verschiedene Richtungen.
 - Reihenfolge ist dabei egal.



Abstandstransformationen

Metriken

- Manhattan-Metrik

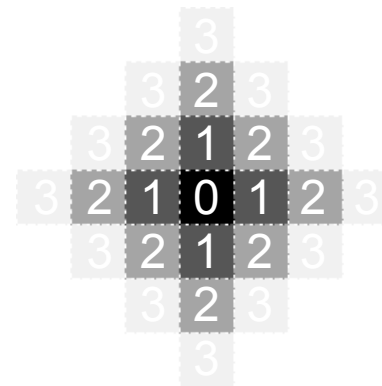
$$d(x, y) = |x| + |y|$$

- Chessboard-Metrik

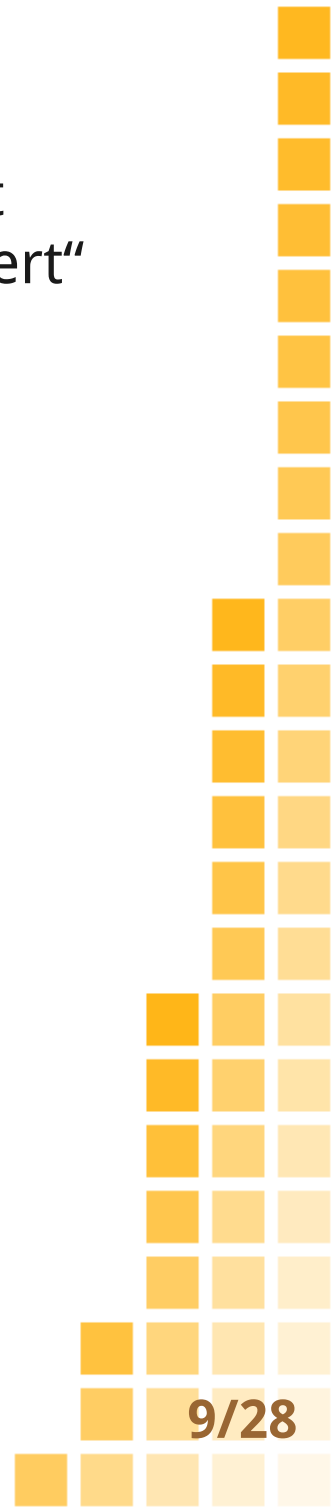
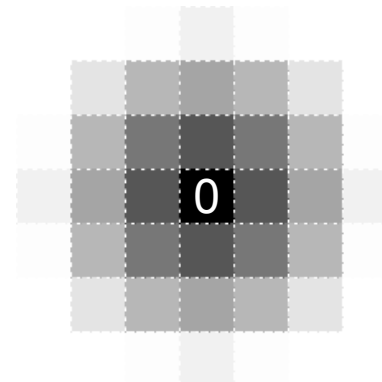
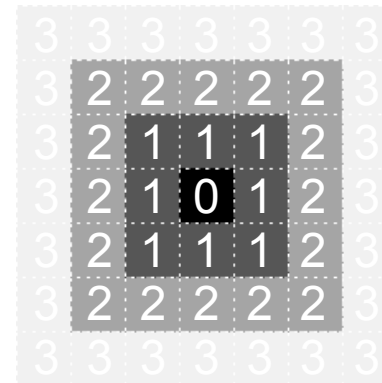
$$d(x, y) = \max(|x|, |y|)$$

- Euklidische Metrik

$$d(x, y) = \sqrt{x^2 + y^2}$$



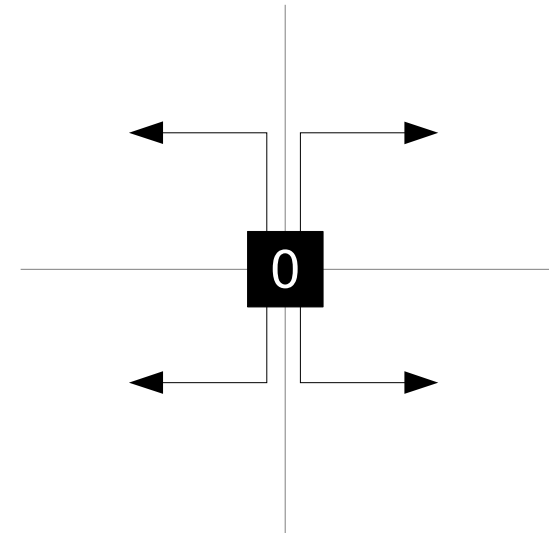
Metrik ist
„pfadgeneriert“



Algorithmen zur Abstandstransformation

Rosenfeld und Pfaltz (1968)

- Eigenschaften der Pfadgeneration erlauben einfachen **sequentiellen Algorithmus**:
 - Initialisierung mit Abstand 0 bzw. ∞
 - Propagation der Werte in die je zwei Richtungen der vier Quadranten einzeln.
 - Bestimme Minimum der vier Suchläufe.
- Art der Suchläufe kann noch leicht optimiert werden, wichtig jedoch: $O(n)$
- Jedoch nicht für nicht-pfadgenerierte Metriken!



Algorithmen zur Abstandstransformation

Fast-Marching

- Idee: Die **Eikonalgleichung** beschreibt die Ankunftszeit eines Lichtstrahls, der sich in alle Richtungen ausbreitet:

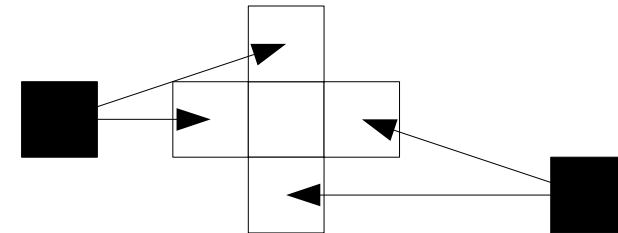
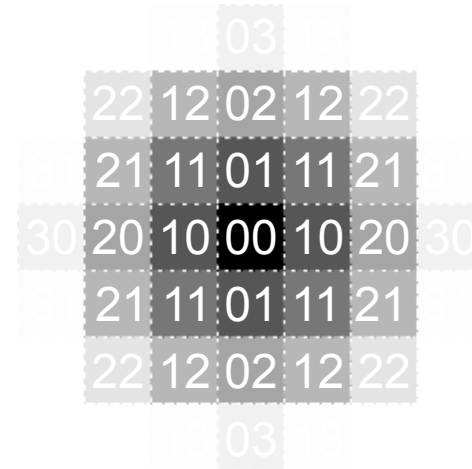
$$(\nabla \phi)^2 = \frac{1}{c^2}$$

- Numerische Lösung mit Laufzeit $O(n)$ von Sethian (1999)
 - Um das Bild nicht n -mal abscannen zu müssen:
Einteilung in Punkttypen „tot“, „Grenze“, „weit weg“
- Gute Ergebnisse zur euklidischen Abstandstransformation (EAT).

Algorithmen zur Abstandstransformation

SED4

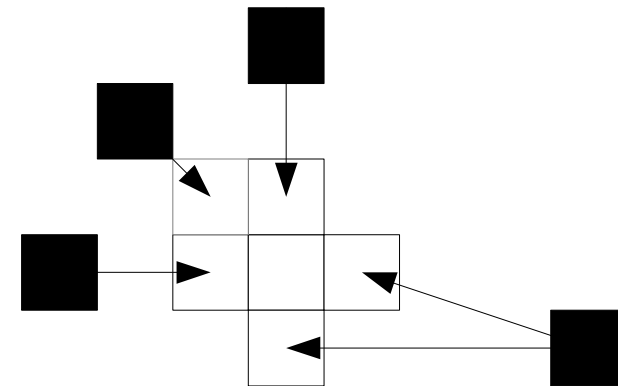
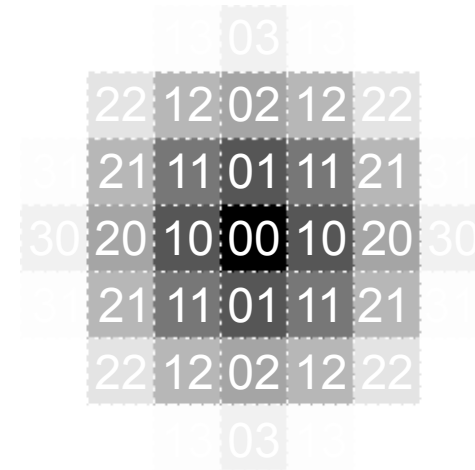
- Danielsson schlägt 1980 die **Vektor-Propagation** anstatt der Wert-Propagation vor.
- Der sequentielle Algorithmus lässt sich damit auf die euklidische Metrik übertragen.
- Annahme dabei: Vektor eines Pixels hängt nur von seinen vier nächsten Nachbarn ab.



Algorithmen zur Abstandstransformation

SED4

- Danielsson schlägt 1980 die **Vektor-Propagation** anstatt der Wert-Propagation vor.
- Der sequentielle Algorithmus lässt sich damit auf die euklidische Metrik übertragen.
- Annahme dabei: Vektor eines Pixels hängt nur von seinen vier nächsten Nachbarn ab.
 - **Falsch! Gegenbeispiel:**
Maximaler Fehler ist ca. 0,29 Pixel.



Algorithmen zur Abstandstransformation

SED8 & mehr

- SED8 betrachtet sogar die 8 umliegenden Pixel.
- Es gibt noch immer fehlerhafte Situationen.
 - Maximaler Fehler beträgt etwa 0,027 Pixel.
- Kann theoretisch zur Fehlerbeseitigung stets erweitert werden, z. B. SED16.
- Vorteile/Nachteile bei der Vektor-Propagation:
 - ✓ Algorithmen sind einfach.
 - ✓ Nicht nur der Abstand, sondern auch Vektor zum nächsten Pixel ist verfügbar.
 - ✗ Algorithmen sind speicherintensiver.

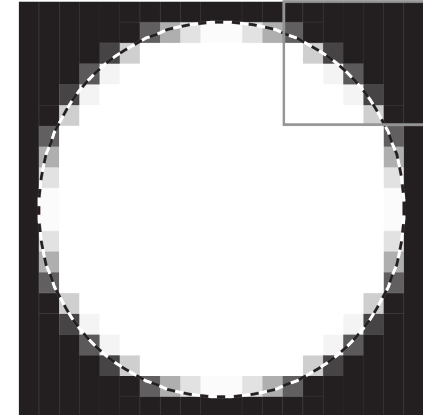
Teil 2

Euklidische Abstandstransformationen mit **Anti-Aliasing**

Anti-Aliasing in der Abstandstransformation

Motivation

- Daten aus der realen Welt sind nicht binär.
- Formen aus der realen Welt lassen sich nur schlecht auf einem Gitter approximieren.



0	0	0	0	0	0	0
0.29	0	0	0	0	0	0
1	0.78	0.16	0	0	0	0
1	1	0.95	0.26	0	0	0
1	1	1	0.95	0.16	0	0
1	1	1	1	0.78	0	0

Anti-Aliasing in der Abstandstransformation

Motivation

- Daten aus der realen Welt sind nicht binär.
- Formen aus der realen Welt lassen sich nur schlecht auf einem Gitter approximieren.
- Die resultierenden Ungenauigkeiten zeigen sich vor allem bei der weiteren Verwendung:



Original

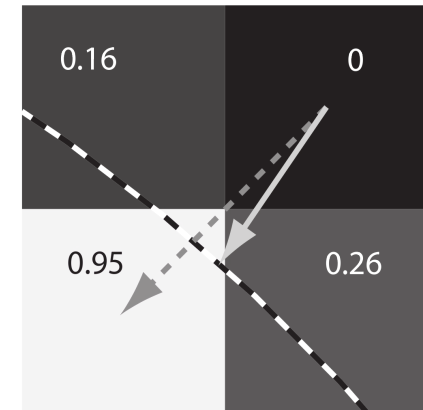
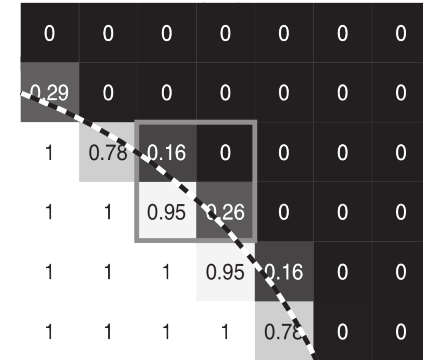
Fehler bei der EAT

Differential der EAT

Anti-Aliasing in der Abstandstransformation

Idee

- Vorgeschlagene Abstandstransformation:
Operiert auf **nicht-binären Pixeln**, d. h. im Intervall $[0, 1]$ (abgetastete Form).
Vektoren zeigen nicht mehr zum Mittelpunkt der Pixel, sondern zum **geschätzten Rand**.
- Die Krümmung der Form wird als klein gegenüber der Pixelgröße angenommen.
- So soll eine Genauigkeit weit unter der Pixelgröße erreicht werden.



Anti-Aliasing in der Abstandstransformation

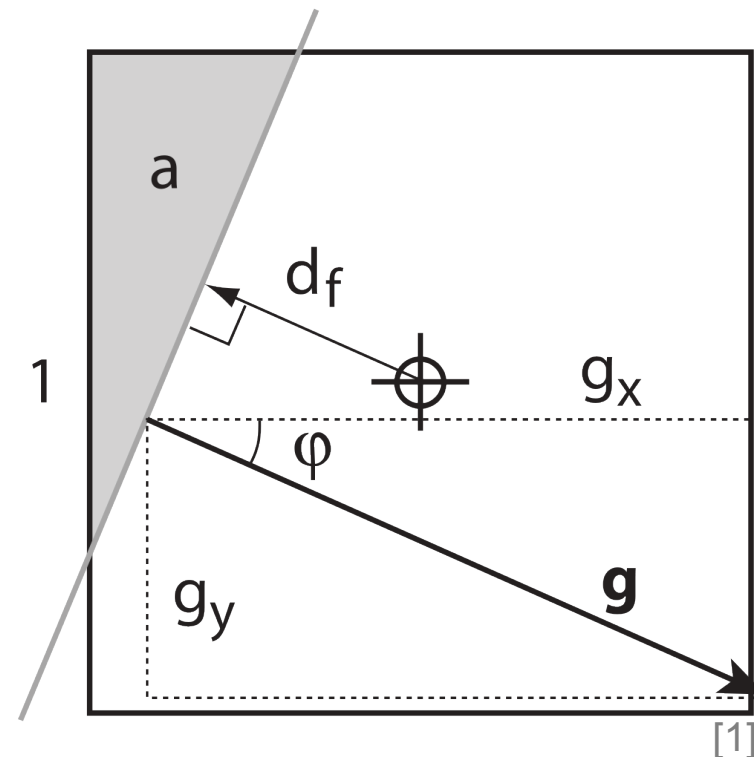
Konstruktionen

- Ziel:

Bei gegebener **Pixelfüllung** und gegebener **Kantenrichtung** soll die **Position der Kante** berechnet werden.

- In der Skizze:

Ein Zusammenhang zwischen d_f und a (in Abhängigkeit von φ)



Anti-Aliasing in der Abstandstransformation

Konstruktionen

- Zwischenergebnisse:

$$a_1 = \tan \phi$$

$$a_2 = 1 - 2a_1$$

$$d_1 = \sin \phi = g_y$$

$$d_2 = (1/\sqrt{2}) \sin(\pi/4 - \phi)$$

$$a = \begin{cases} 0, \\ (d_1 + d_2 + d_f)^2 (a_1 / d_1^2), \\ a_1 + (a_2 / 2)(1 + d_f / d_2), \\ 1 - (d_1 + d_2 - d_f)^2 (a_1 / d_1^2), \\ 1, \end{cases}$$

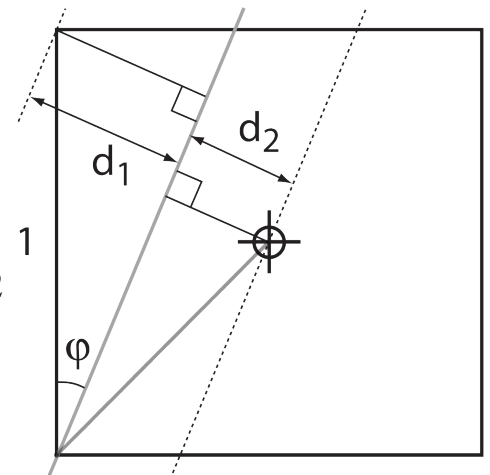
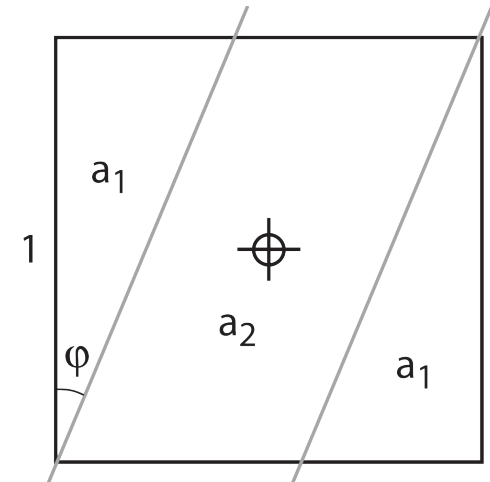
$$d_f \leq -d_1 - d_2$$

$$-d_1 - d_2 \leq d_f \leq -d_2$$

$$-d_2 \leq d_f \leq d_2$$

$$d_2 \leq d_f \leq d_1 + d_2$$

$$d_f \geq d_1 + d_2$$



Anti-Aliasing in der Abstandstransformation

Konstruktionen

- Zwischenergebnisse:

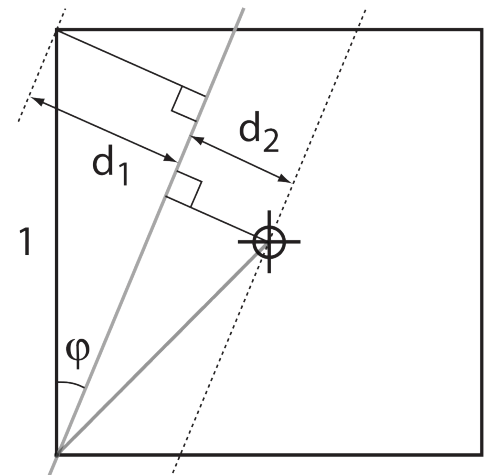
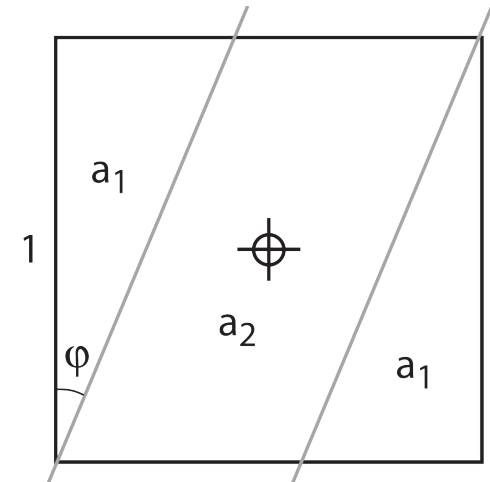
$$a_1 = \tan \phi$$

$$a_2 = 1 - 2a_1$$

$$d_1 = \sin \phi = g_y$$

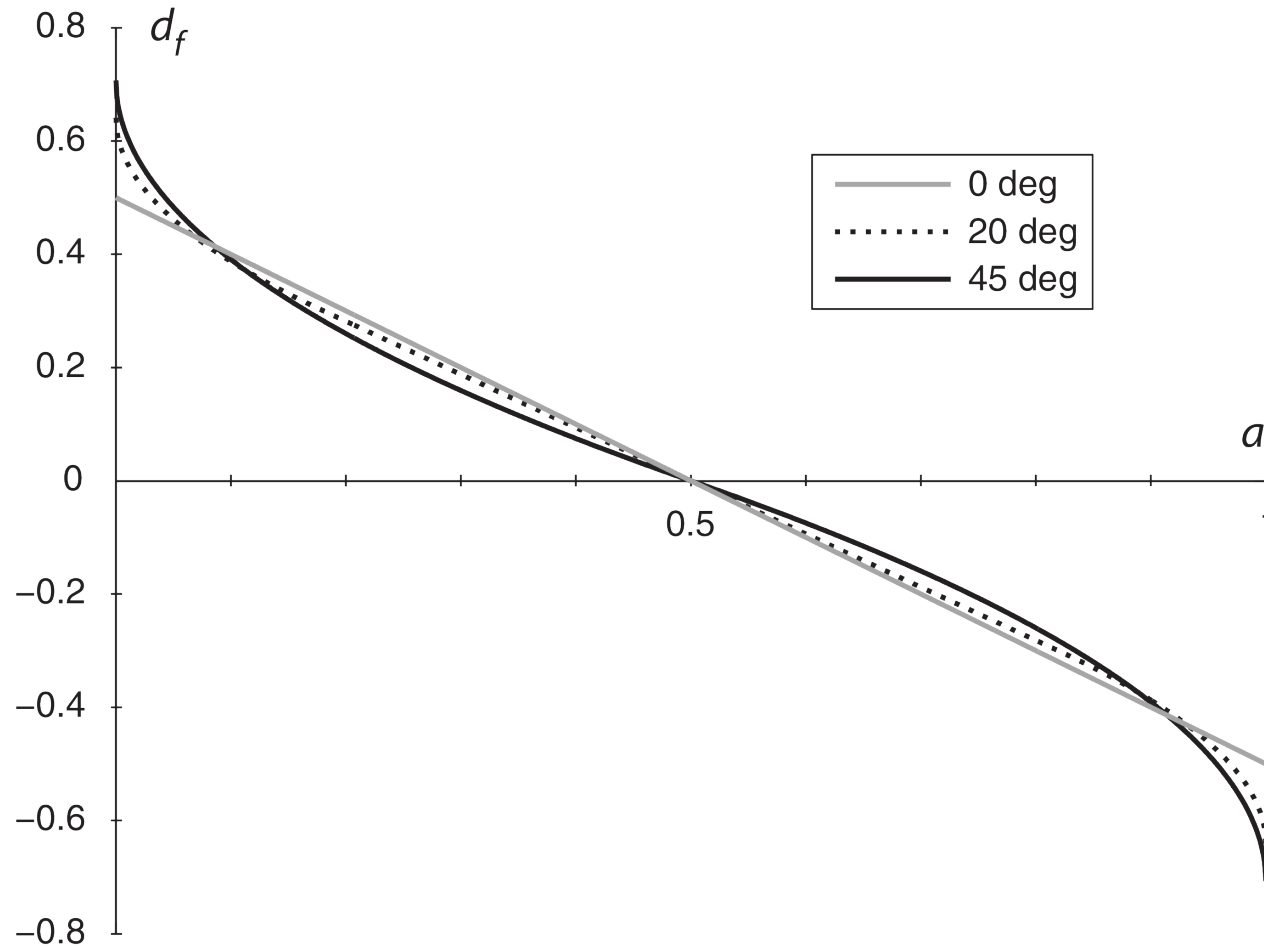
$$d_2 = (1/\sqrt{2}) \sin(\pi/4 - \phi)$$

$$d_f = \begin{cases} (g_x + g_y)/2 - \sqrt{2g_x g_y a}, & 0 \leq a \leq a_1 \\ (0.5 - a)g_x & a_1 \leq a \leq 1 - a_1 \\ -(g_x + g_y)/2 + \sqrt{2g_x g_y (1 - a)} & 1 - a_1 \leq a \leq 1 \end{cases}$$



Anti-Aliasing in der Abstandstransformation

Konstruktionen

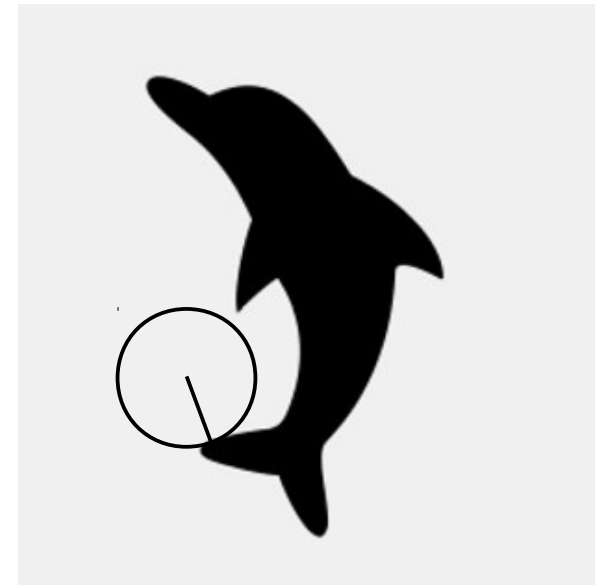


- Lässt sich gut linear approximieren, wenn φ unbekannt.

Anti-Aliasing in der Abstandstransformation

Der Algorithmus von S. Gustavson und R. Strand

- Benutze neues Abstandsmaß als $d(x, y, \varphi)$ bei einem Vektor-Propagations-Algorithmus (z. B. SED8).
- Wie bestimmt man nun φ ?
 - **Weit weg von der Kante:**
Kante ist etwa senkrecht zur Verbindungslinie.
(Dies ist asymptotisch korrekt.)
 - **Nah an der Kante:**
 g_x und g_y werden mithilfe von zwei 3×3 -Gradientenfiltern abgeschätzt.



Anti-Aliasing in der Abstandstransformation

Ergebnisse

- Der Algorithmus erreicht bei einer Reihe von Testbildern eine durchschnittliche Genauigkeit von 0,02 Pixel.
- An harten Ecken Fehler bis zu ca. 0,5 Pixel.
- Auswirkung auf die Geschwindigkeit:

Binäre EAT	AA $\varphi = 0$	AA $\varphi = \text{senkr.}$	AA vollst.
0.33 s	0.83 s	3.2 s	3.9 s
1.0×	2.5×	9.7×	11.8×

- Optimierungen:
 - **Tabellierung** der $d_f(a, \varphi)$ -Funktion
 - **Frühes Aussortieren** (early-out) durch $-1 < d_f < 1$

Anti-Aliasing in der Abstandstransformation

Vergleich mit herkömmlicher Methode

Auflösung:

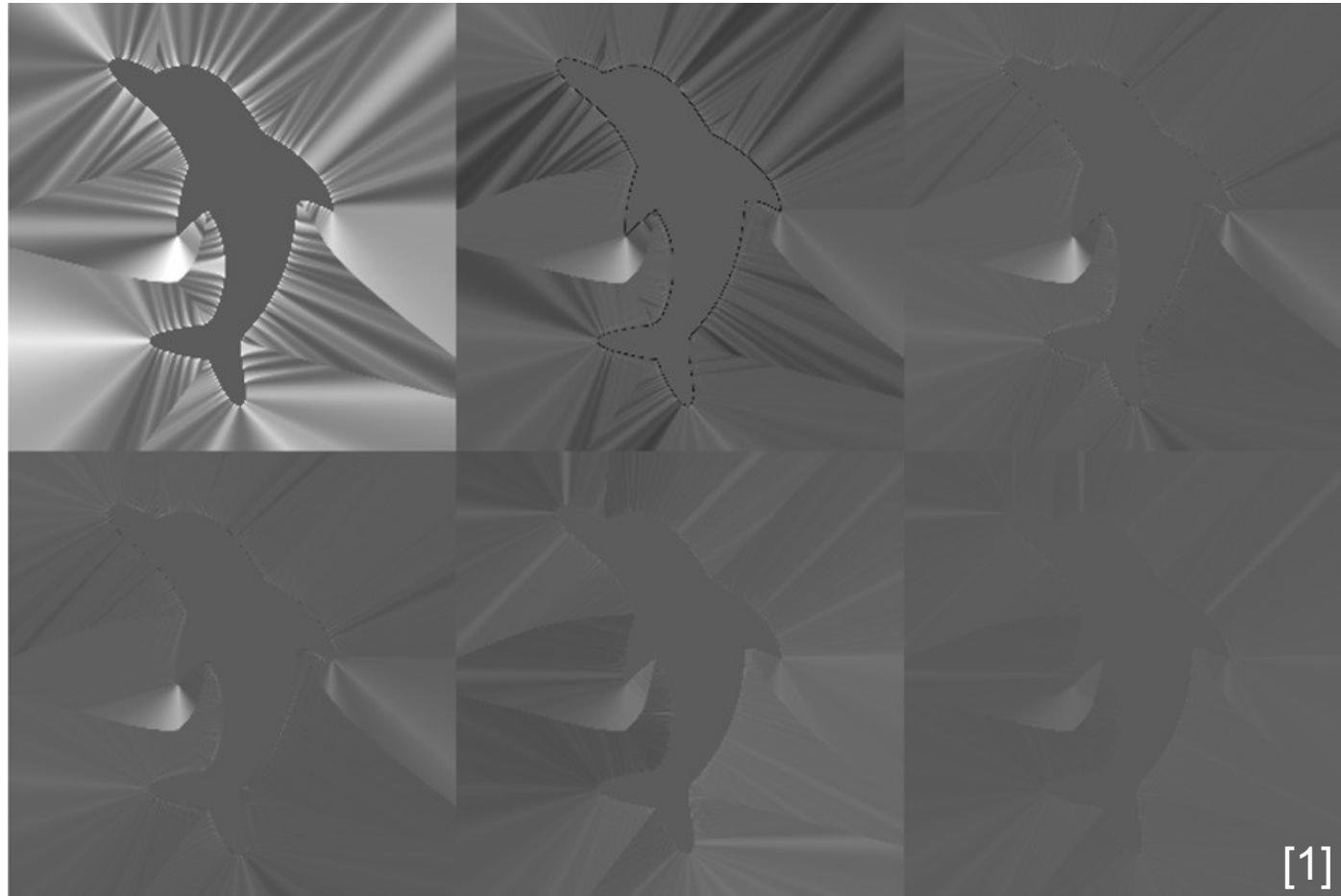
1fach

8fach

16fach

■ EAT normal

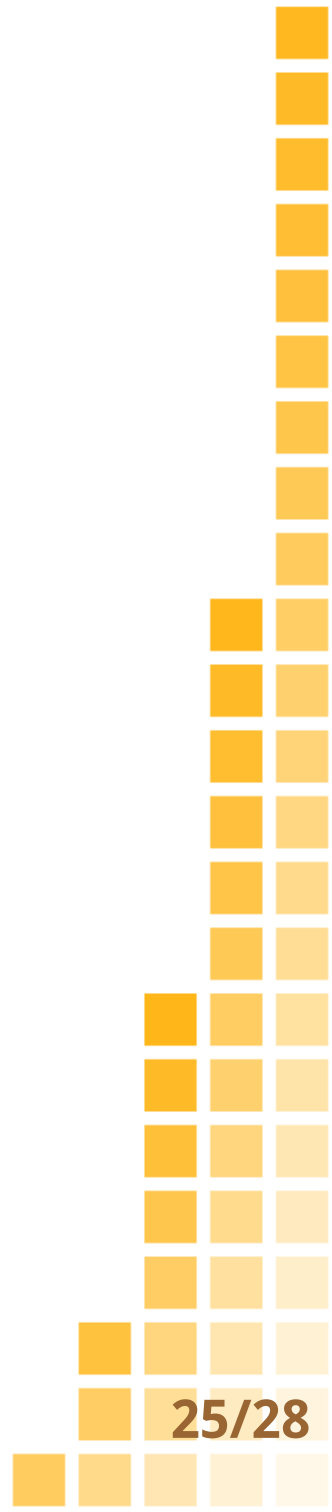
■ EAT mit AA



$\varphi = 0$

$\varphi = \text{senkr.}$

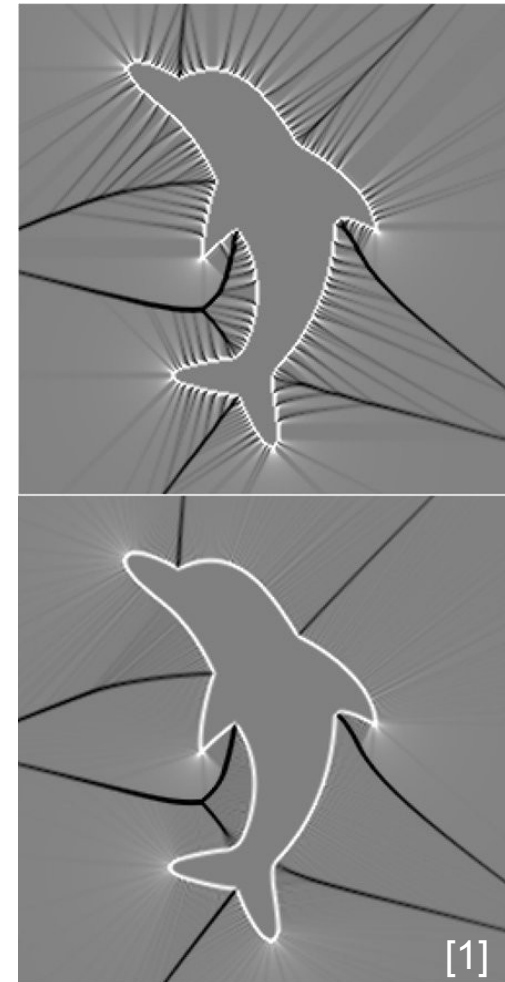
φ voll berechnet



Ausblick

Anwendungsmöglichkeiten

- Skelettierung, da das Differential deutlich besser ist (siehe rechts).
- Subpixel-Ausdünnung/-Erweiterung.
- Echtzeit-Rekonstruktion von scharfen Kanten aus Bildern.
- Alles Weitere, bei dem das Differential der EAT erforderlich ist.
- Ersparnis von Rechenzeit und Speicherkapazität.



Ausblick

Literatur und Quellen

- [1] Anti-Aliased Euclidean Distance Transform
Stefan Gustavson und Robin Strand, Pattern Recognition Letters, 2011
- [2] Euclidean Distance Mapping
Per-Erik Danielsson, Computer Graphics and Image Processing, 1980
- [3] A fast marching level set method for advancing fronts
James Albert Sethian, Proc. Natl. Acad. Sci. USA, 1996
- [4] New Vessel Analysis Tool for Morphometric Quantification
<http://radiographics.rsna.org/content/24/1/287/F5.expansion.html>
- [5] Shape-Thinning
<http://liris.cnrs.fr/dgtal/gallery/shape-thinning-8-4/>

Die Internetquellen wurden am 22.01.2012 überprüft.



Gibt es noch Fragen?

Georg Jahn
mail@gjahn.com

24. Januar 2012
Seminar Computergrafik



28/28